

MICROFICHE M



République Tunisienne

MINISTERE DE L'AGRICULTURE

CENTRE NATIONAL DE

COCUMENTATION AGRICOLE

TUNIS

المن عُورُ مِينَةِ النونسُ ثَيْنَةُ وَلَامِهُ النونسُ ثَيْنَةً الناسِةِ وَلَامِهُ الناسِةِ النونسُ ثَيْنَةً ال

المركزا لقوحي للتوثيق الفلاحي خىنىس





REPUBLIQUE TUNISIEMNE
Allestator de L'Agriculture
Direction Comercia des Retainances en Van
(DGRE)

Méthode d'Analyse et de Calcul des Caractéristiques des Précipitations.

(micro-bassin do Honfarona)

L. FRIGUI Ingénina Principal II. BEN MANSOUR Ingénieur Principal

(seec in coësberation de H. CAMUS (ORSTOM))

Sommaire

- I Introduction
- II Présentation du micro-bassin .
- III Analyse des données pluviographiques
 - 3.1 Discretisation des averses.
 - 3.2 Choix de l'échantillon.
- IV Traitement statistique
 - 4.1 Analyse statistique
 - 4.2 Résultats des ajustements statistiques 4.2.1 Intensité moyenne.
 - 4.2.2 Intensité mazimale annuelle.
 - 4.3 Etude de la relation entre Imoy et Imax
 - 4.4 Etude de la relation : hauteur durée d'averse .
- V Conclusion Générale

Bibliographia

Annexes

I Introduction

La présente étude à été réalisée en vue de mieux connaître les phénomètes hydrologiques des petits basains versants. Elle est motivée par l'intérél que présente la commaissance de la structure de la pluie à un pas de temps fin.

En effet de nombreux projets nécessitent au cours de loure anámagements, la con-aissance des pluies sous la forme de courbes reliant L'Internite, la Durée et la Fréquence des épisodes pluvieux (I.D.F.). Ces données seront utiles dans le grande majorité des calculs hydrologiques et plus particulièrement dans la modélisation.

Les résultats ont été obtenue à travers l'analyse des données pluviographiques ensegistrées sur le micro-bassin de Boufarous .

II Présentation du micro-bassin.

Le micro-bassin de Boufarous, plus consu sous le tenne de " citerne hydrologique", a été mis en service par les hydrologique de L * O.R.S.T.O.M. en 1976.

Ce micro - bassin, d'une superficie de 2,579 ha ,en simé dans la 20ne de piedmont de Djebel Semmana, non loin de la ville de Sberla, distante de 15 km (Fig. 1). Il est limité par les coordonnées géographiques suivantes.

7 Gr 39' de longitude Est 39 Gr 21' de Latitude Nord.

Les caractéristiques pinyaiques sont les suivantes.

Superficie	S = 2,579 ha
· Périmètre	P = 644 m.
- Coefficient de forme	Kc = 1,13.
· Rectangle équivalent	L-164 m, 1-158 m
· Aktitude maximale	Alt max . = 692 m .
Altitude moyenne	Alt moy. = 686 m.
A Saintada migroprass	Alt min. = 680 m.

I Introduction

La présente étude à été réalisée en vue de mieux connaître les phénomètes hydrologiques des petits basains versants. Elle est motivée par l'intérél que présente la commaissance de la structure de la pluie à un pas de temps fin.

En effet de nombreux projets nécessitent au cours de loure anámagements, la con-aissance des pluies sous la forme de courbes reliant L'Internite, la Durée et la Fréquence des épisodes pluvieux (I.D.F.). Ces données seront utiles dans le grande majorité des calculs hydrologiques et plus particulièrement dans la modélisation.

Les résultats ont été obtenue à travers l'analyse des données pluviographiques ensegistrées sur le micro-bassin de Boufarous .

II Présentation du micro-bassin.

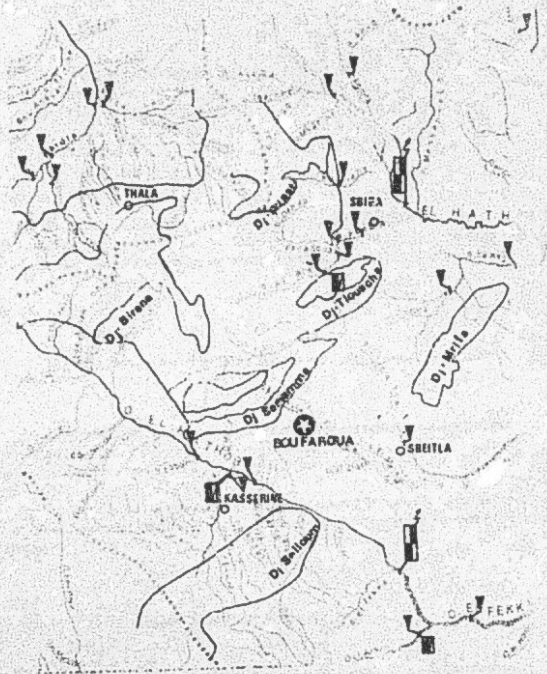
Le micro-bassin de Boufarous, plus consu sous le tenne de " citerne hydrologique", a été mis en service par les hydrologique de L * O.R.S.T.O.M. en 1976.

Ce micro - bassin, d'une superficie de 2,579 ha ,en simé dans la 20ne de piedmont de Djebel Semmana, non loin de la ville de Sberla, distante de 15 km (Fig. 1). Il est limité par les coordonnées géographiques suivantes.

7 Gr 39' de longitude Est 39 Gr 21' de Latitude Nord.

Les caractéristiques pinyaiques sont les suivantes.

Superficie	S = 2,579 ha
· Périmètre	P = 644 m.
- Coefficient de forme	Kc = 1,13.
· Rectangle équivalent	L-164 m, 1-158 m
· Aktitude maximale	Alt max . = 692 m .
Altitude moyenne	Alt moy. = 686 m.
A Saintada migroprass	Alt min. = 680 m.



Ech. 17500 00

LECKNDE



Indice de pente globale
 Dénivelée spécifique
 Indice de pente de Roche
 Dénivelé D = H5 · H95
 Classe de relief (J. Rocher)
 R1 (relief très faible).

Igp = 6.2 %
Ds = 9.55m
Ip = 3,12 %
D = 9.73m
R1 (relief très faible).

- 3 -

Ce micro - bassin a été équipé depuis sa mise en exercice de 4 pluviomètres et d'un pluviographe (PG 90), d'une fosse de 120 m² qui sert d'éxeutoire su bassin et à partir de laquelle sont mesurées les crues, les transports solides et en suspension.

III Analyse des données pluviographiques.

La présente étude, repose sur la chronique d'enregistrement des postes pluviographiques, (PG 89) (à 200 m du micro - basein) et (PG 90) pour les periodes suivantes : de 1976 à 1981 (pour PG 89) et de 1982 à 1991 (pour PG 90).

La corrélation entre les deux pluviographes est très bonne (r = 0.989), coci nous permet de fusionner les deux séries d'observations et de travailler sur une période assez longue de 1976 à 1991.

3.1 Discrétisation des Averses .

A partir des fichiers pluviographiques, ont été individualisés les averses. Le critère d'ir d'adualisation étant le suivant ; Si les intensités successives n'ont pas evolté la vaieur de 3 mm/h pendant une durée totale de 30 mm. L'averse antérieure est considérée comme indépendante de l'averse future :

Parmi ces averses indépendantes, on a sélectionné, celles dont la hauteur est supérieure à 4 mm. Ces demières seront susceptibles de donner un écoulement.

Le seuil de 4 mm, n'a pas été pris au hasard, mais il a été choisi à la suite de l'étuste de la relation Lr = f (Pm), qui relie la lame ruisselée (Lr) à la pluie moyenne (Pm) et ceci pour les crues enregistrées de 1976 à 1986 (Fig. 2).

FIELZ, Ratation entre la tase ruizselles (Lr) at to pluis acqueres (Pa)

Les épisodes pluvieux étans définis, notre procédure consiste , dans un premier temps , à rechercher à l'intérieur de chaque épisode , l'intensité moyenne sur différentes durées (t.) variant de 5 mm à 3 heures. Etudier ces intensités moyennes revient donc à étudier les hauteurs H(t) observées pendant ces durées . On obtient ainsi les series H(t) soumises à l'analyse statistique .

Dans un second temps ,on s'est intéressé uniquement à la hauteur maximale et plus particulièrement à l'intensité maximale de pluie et ceci pour chaque année et pour chaque durée (1). (1 varie de 5 mn à 3 heures).

IV Traitement Statistique

Malgrè le caractère complexe dans le temps et dans l'espace des intensités il est possible de donner leurs expressions analytiques .

$$H = A t^{(l-a)} \tag{1}$$

$$I = \frac{A}{1}$$

Avec.

A: Întensité pour une unité de temps,

n: Coefficient de réduction ,

t : Durée en mm .

Un programme ajuste différentes lois statistiques aux distributions de hauteurs de pluies tombées durant différentes durées .

Dons un premier temps ,on a rassemblé les résultats de 1° analyse statistique par durée t avec notamment.

- · La movenne de l'échantillon sur la chronique observée ,
- · La valeur de l'écart -type σ,
- · Le coefficient de variation Cy
- . Le coefficient d'assymétrie Cs

Dans un second temps, on a détermiré les hauteurs (ou intensité) de pluies pour les différentes durées (variant de 5 mn à 3 heures) et pour différentes périodes de retour (2,5,10,20 et 50 ans).

A partir de ces ajustements, nous avons tracé les jeux de courbes (LD.F.).

4.2 Résultats des ajustements statistiques.

4.2.1 Intensités movennes.

Le tableau (n°1) rassemble les caractéristiques de ces ajustements statistiques.

L'analyse de ce tableau nous révêle que le coefficient de variation décroît rapidement jusqu'à la durée 30 mn, au-delà il se stabilise à la valeur 0,57.

En ce qui concerne le rapport C_{g}/C_{V} , il varie entre 1,91 pour (t=15~mn) et 3.62 pour (t=90~mn) .

La distribution statistique des averses est décrite par la loi $Pearson\ V$ et ceci pour les différentes durées ;

Les hauteurs des averses pour les différentes durées et pour différentes periodes de retour sont consignées dans le tableau (n° 2) .

Tabless nº1: Caraciéristiques stainstiques des tionnées plantogrammiques (Intensate moyenne,

Caracteristans Darks	la	10	12	ģ	ş	99	8	B	180
15	2.6	07	67	6.5	1,4	8.0	8.5	8.0	81
Ecst-type (mm)	2261	2.991	3.361	3.975	4223	4 586	4.872	\$079	5.309
Coefficient de Vwirtation	0.863	0.744	0.668	0.610	0.573	0.575	995'0	3,565	0.579
8	200	197	181	223	2.80	3.31	3.62	3,48	370

Tarbasu n° 2 . Analyses stabstitiques des hauteurs d'averses pour différentes durées

Particular de ceteral Dumbe(hera)	ò	10	15.	pg.	45.	.09	Ş	120	180.
2 ans	1.9	3.1	3.8	5.4	8.3	6 9	7.5	7.6	7.8
5 ans	3.7	5.7	6.8	8 8	7.00	103	110	116	118
10 ans	5.3	7.8	6.3	11.5	12.2	12.8	13.6	14.4	148
20 ans	7.0	10.6	12.2	164	149	15.4	16.3	17.3	17.9
50 ams	8.8	14.8	16.8	18.81	180	193	20.5	216	20.5

Les courbes H.D.F. tracées , (Fig. 3) ,ont un comportement régulier et ne présentent aucune anomalie ,

4.2.2 Intensité maximale

L'Intensité maximale représente un élément principal des modèles rationnels (intensité limite)

A partir des averses (traitées précédemanent), on prend pour chaque armée, la valeur maximale annuelle des hauteurs de précipitations et ceci sur l'intervalle de temps varient de 5 mn à 3 heures.

Les figures présentées en Annexes (A) reproduitent les diagrammes de la variation de la bauteur maximale (Hmax) en fonction de la durée (t).

Dans le tableau (n^3) ,nous donnons les valeurs des paramètres (n) et (A) des formules (1) et (2) airsi que leurs coefficients de détermination (R^2).

Sur la figure (4), nous présentons la courbe résultante de la moyennisation des courbes amrselles. Elle définit le comportement de la hauteur maximale (Intensité maximale) en fonction de l'intervalle de temps.

L'expression analytique est de la forme .

$$H_{\text{max.}} = 4.99 \text{ t}^{-0.28}$$
 (3) $R^2 = 95.5\%$

$$I_{\text{max.}} = \frac{4.99}{t^{0.72}}$$
 (4)

L'étude des paramètres de synthèse (A et n) de ces courbes révèle une insuffisance d'ordre pratique .

En effet, si le paramètre de réduction (n) a une cortaine stabilité, le paramètre (A) est fonction non sculement de l'intervalle de temps (t) mais aussi de la période de retour (T). Cela rend donc indispensable, l'étude statistique des intensités maximales pour les différentes durces (t) et pour les différentes périodes de retour (T).



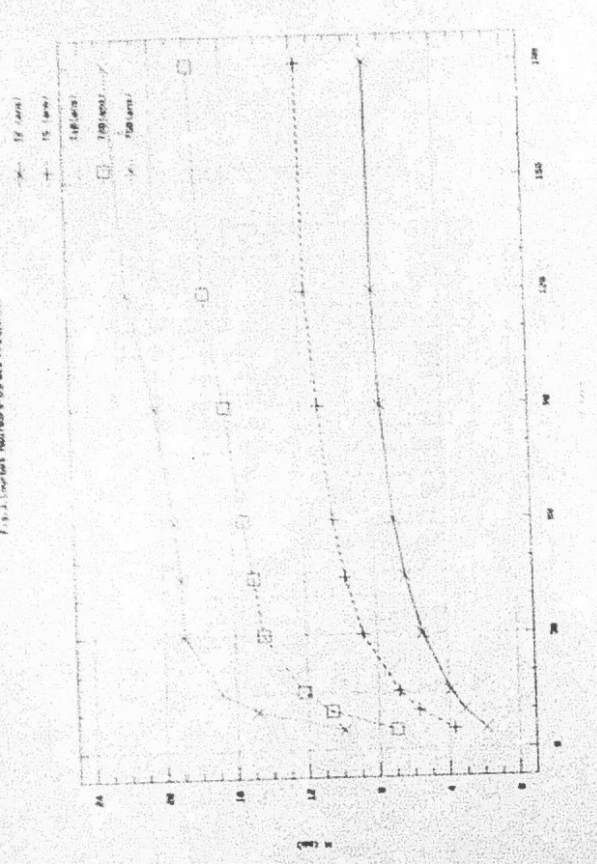
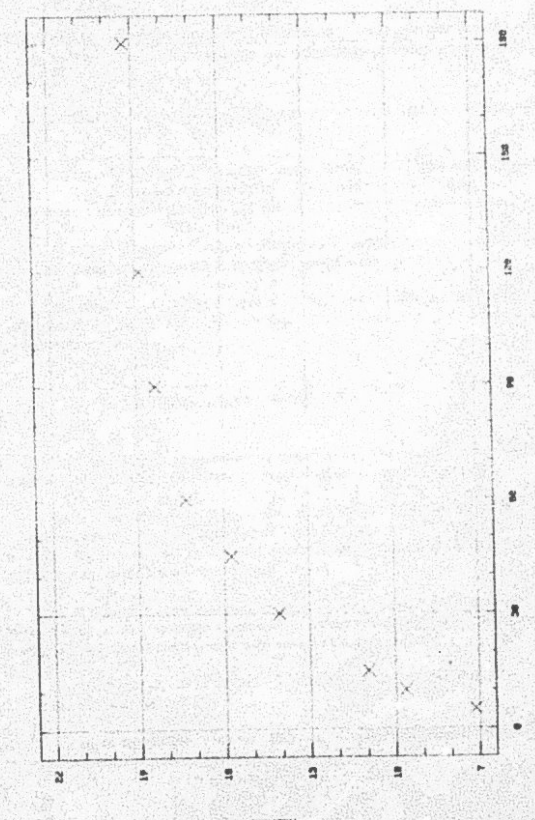


Tableau n' 3 : Valeurs des paramètres A et n .

- 11 -

	Participation		Coefficient de
Annès	. A	n	R ² (%)
1976	7,14	0.80	\$1.03
1977	2.33	0.69	85.59
1976	4.12	0.68	50.98
1979	3.12	0.63	90.90
1980	1,69	0.53	05.50
1981	10.30	0.83	83.40
1982	4.15	0.58	01.87
1983	12.40	0.93	70,87
1984	3.92	0.57	95,36
1935	4.02	C.64	90.08
1966	5.46	0.77	77,21
1987	2.31	0.77	92.80
1988	5.90	0.50	70.24
1989	7.72	0.72	89.27
1990	4,11	0.61	92.49
1991	5.43	0.77	82.78

Fig.4.Relation entry is Mauthur maximals (*Maus) of Entervalle de teams (1)



Parmi les différentes lois utilisées, les meilleurs ajustements sont donnés par la loi de *Jenkinson* . Les graphiques de ces ajustements sont présentés en Annexes B

Les résultats de ce traitement statistique sont consignés dans les tableaux ($n^{\alpha}4$) at ($n^{\alpha}5$).

L'analyse du tableau (n^{o} 4) montre que le coefficient C_V varie dans Γ intervalle (0.29 - 0.44). Ce comportement s'explique, qu'au cours de cette période d'observations, on n'à pas enregistré des épisodes pluvieux à très forte intensité.

Par contre ,le rapport C_g/C_V est caractérisé d'instabilité, qui peut être dû au fait que la hauteur maximale varie légèrement quand la durée (1) croit .

Les courbes LD.F., (Fig. 5) som assez régulières. Pour les durces (1) inférieures ou égales à 30 mm, 1° intensité décroît rapidement alors qu'au-delà, elle a un comportement lent.

a) Détermination des paramètres A SI II -

En ce qui concerne le paramètre de réduction de l'intensité des précipitations de la relation citée plus haut (Formule 2), celai ci est assez stable et égal à 0,72.

Selon Kallel M.R. [3 et 4], l'indice de réduction à la station Métée de Ain Draham est égal à 0,78. Pour la station de Tunis Carthage n = 0,75 et pour Eizerte n = 0,73 [1]. Il en résulte que la valeur du coefficient de réduction a le même ordre de grandeur pour les différentes régions de la Tunisie.

Cette valeur (n) peut être déterminée directement à partir des données de base (relevés pluviographiques) mêms si ces demiers sont enregistrés par un seul poste pluviographique et sur une période assez limité dans le temps.

Le paramètre (A) de la formule (2) est fonction de deux variables : La durée (1) et la période de retour (T).

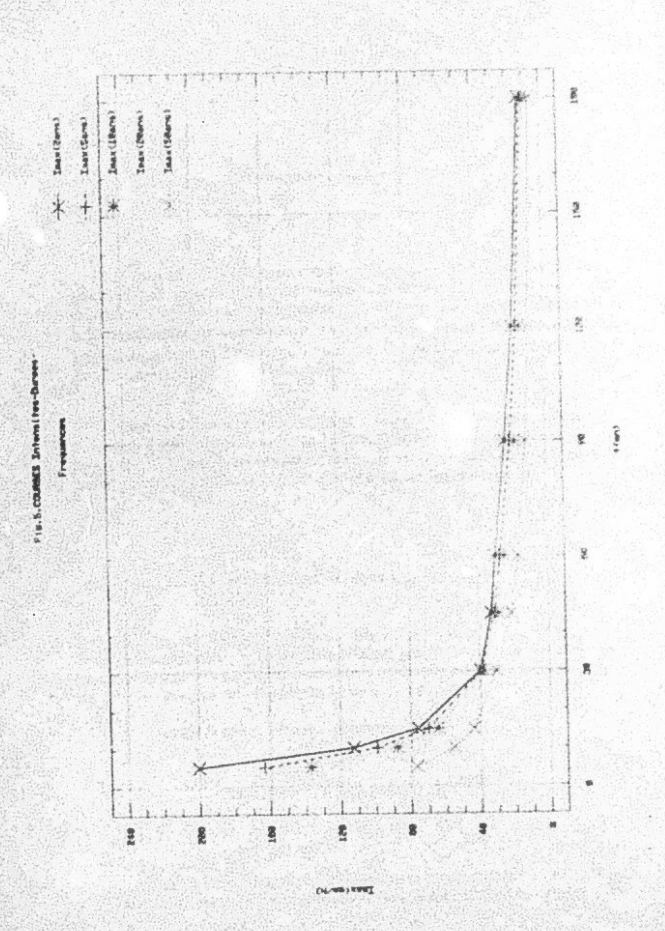
L'analyse des relations , Intersité maximale-Durée-Période de retour, nous a permis d'aboutir à la formule suivante :

Tableau n° 4 : Caractérisbques stakssbques des données pluniographiques (Intensité maximale).

Consultant part Date	ŝe	10	18	ä	9	3	3	1	}
13	11	9.6	10.9	141	15.7	17.3	17.3	18.8	19.3
Ecart - type (mm)	32	3.6	3.8	3	46	5.5	5.5	19	6.9
Coefficient de Vairiation	0.44	0.37	0.34	15.0	620	are	0.32	0.36	0.36
300	210	1.19	0.33	-3.84	1,78	0.03	800	1.42	250

Tableau n° 5 : Analyses statt: Viques des intengrass matomales pour les châs antes durées

Grades de reteaut Destrajonal	6	10	15.	30	\$	bg S	þ	120	180
2 ann	8.4	9.2	10.9	151	15.9	17.0	17.5	17.8	18.4
5 ans	6.3	12.6	143	18.0	212	22.3	22.6	24.2	25.0
10 ans	11.4	14.6	181	18.0	21.9	22	27.5	28.3	80
20 ans	gat.	18.5	17.5	19.5	23.4	27.6	Q, LE	32.0	Ä
SO ans	167	16.8	180	19.9	24.8	202	35.3	36.7	37.1



Avec.

. lmax : Intensité maximale en mm/h.

a t : Durée en mn ,

. T : Période de retour en ans .

Pour vérifier la précision de cette formule et celle des paramètres régionaux adoptés, on a comparé les intensités maximales calculées par la formule (5) et celles déterminées par ajustement statistique des observations, ceci pour les différentes durées et pour différentes périodes de retour. Le degré de précision est en moyenne de ± 8,2%. Le plus grand écart est d'environ ± 15% et par conséquent l'erreur relative se situe dans les limites hydrologiques admissibles.

On accorde une grande importance à la formule (5), d'une part pour sa fiabilité et d'autre part pour sa simplicité. Elle peut être utilisée dans les calculs hydrologiques et dans la modélisation, méthodes très utiles pour une amélioration de la comanissance des phénomènes hydrologiques des petits bassins versants.

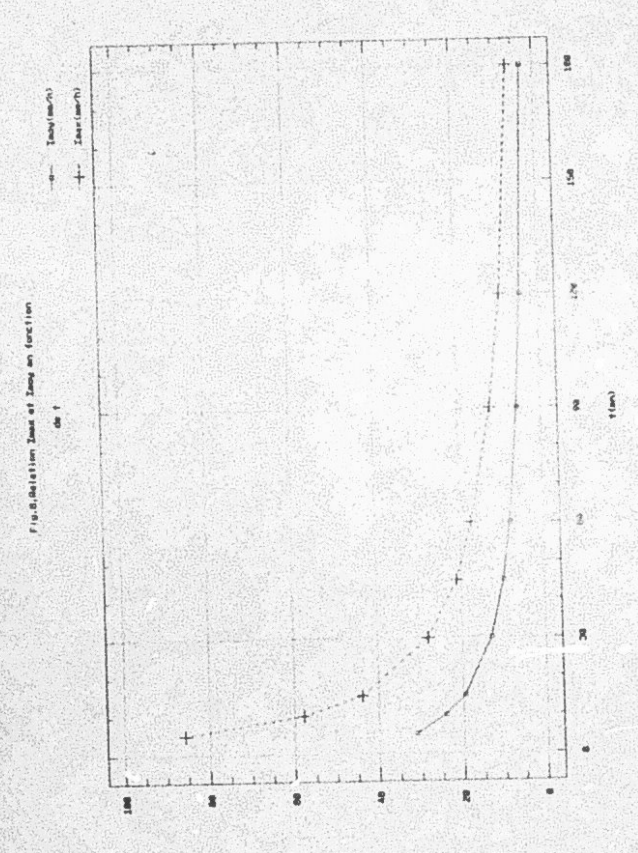
43 Enude de la relation entre lmax, et lmoy.

En analysant les dounées des deux échantillons étudiés (l moy, et l_{max.}) et leurs résultats obtenus par les traitements statistiques (cités respectivement dans les paragraphes 4.2.1 et 4.2.2.), on remarque que l'intensité maximale annuelle (l_{max.}) est fortement corrèlée avec l'intensité movenne. (Fig. 6 et Fig. 7).

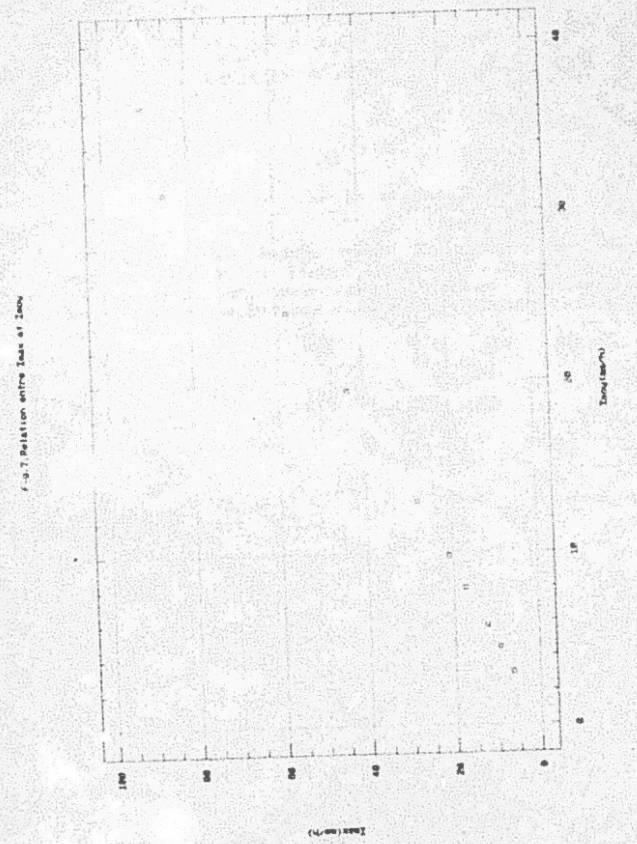
L'équation de corrélation est la suivante :

$$I_{\text{max.}(t)} = 1.82 (I_{\text{moy.}(t)})^{1.08}$$
 (6)

Le rapport Imax. / Imoy, varie seulement en fonction de la période de retour (T), mettant en évidence l'influence des différentes distributions statistiques.



(4,00)



$$\frac{I_{\text{max.}(t,T)}}{I_{\text{moy.}(t,T)}} = \frac{4,64}{T^{0.37}}$$

4.4 Etude de la relation : hauteur - durée d' averse .

Dans une phase finale ,des recherches ont été éffectué pour voir la relation qui pourrait lier la hauseur de l'averse à sa durée. Le graphique (n° 8) et ceux de l'Annexes (C), nous montrent que la relation reliant les différents couples hauseurs durée de l'averse est lâche. Par conséquent la hauseur de l'averse ne dépend pas de sa durée.

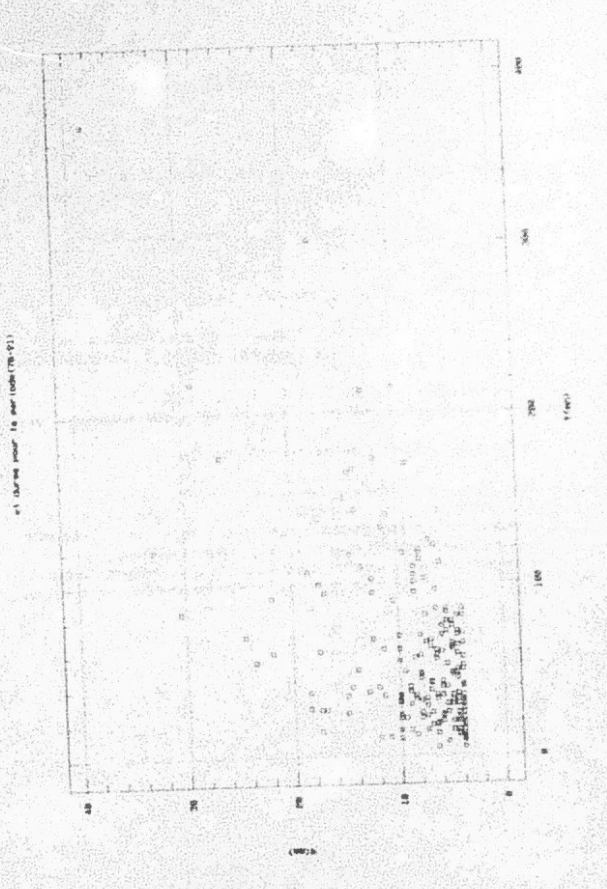


Fig. 9. Relation entre hauteur de pluie

V Conclusion Générale

A l'aide des resultors de l'étude et des connaissances passées, les conclusions suivantes sont proposées.

- La distribution statistique des Intensités moyennes (Hauteur H) est décrite par la loi Pearrass V.
 - . Les intensités maxima disustent mieux avec la loi de Jenkinson.
- . Les cour es LD.F. on une expression analytique de la forme $1=A_1$ (-n) $T^{\frac{1}{2}}$, avec un coeffici –n de réduction (π) , égal a 0.72 .
- La l. mule Imax = 258 t -0.77 T 0.23, est recommandée pour les calculs hydrologiques tans cette région, dans le cas ou les données observées sont absentes.
 - * L'in risité moyenne est fortement correlée avec l'intensité maximale.

Enfin, on peut du e que la métiodologie des courbes I.D.F., apparaît être aujourd'hai une méthode prometteuse pour estimer les pluies de différentes durées et différentes fréquences et par corréquent pour mieux connitre les phénomèties invérologiques des peuts bassiers versants. Néammoins l'étude de sa représentativité et as nouvièsse d'adaptation à la forte variabilité des mesures pluvicenetriques devrait être opérée pour valider complétement la méthode.

BIBLIOGRAPHIE

[1]. D.G.T.H. du Ministère de L' Equipement .

"Utilisation des eaux de l'extrême Nord de la Tunisie". Etude technique et économique - Vol II., Dossier I., Institut d'Etat de projet et de recherches scientifiques.

- (2). GHARACHKOV (1.F) 1979 :
 - " Calculs hydrologiques " . Edition Hydrométéorologique , (en langue russe). Leningrad .
- [3]. KALLEL M.R., ZOUAOUI A. -1974-:
 - " Dossier pluviométrique de Tunis Manoubia ", DRE, Tunis.
- [4]. KALLEL M.R. 1977 :
 - "Le bassin versant de l'oued Journine : Etude des pluies journalières maximales ", Juin 1977 , DRE , Tunis .
- 15]. KRISTSKY S.N., MENKEL M.F. 1981 :
 - "Principes hydrologiques de l'écoulement des rivières ". Edition Sciences, (en langue russe), Moscou.
- [6]. MONTIBERT A. 1983 :
 - "Analyse des principaux facteurs du ruissellement et de l'érosion période 1976 - 1982, micro bassin de Boufaroua", DRE ,ORSTOM, Juillet 1983, Tunis.
- [7]. SOCIETE METEOROLOGIQUE DE FRANCE 1980 :

"La Météorologie numéro spécial " Précipitations et Hydrologie " série IV, n° 20-21 "Mars et Juin 1980 .France

ANNEXES

Annexes A: Diagrammes de la variation de la hauteur

maximale (Hmax) en fonction de la durée (t),

pour les années 1976 à 1991 .

Annexes B: Graphiques des ajustements statistiques.

Annexes C: Diagrammes de la variation de la hauteur

d'averse en fonction de sa durée .

ANNEXES A

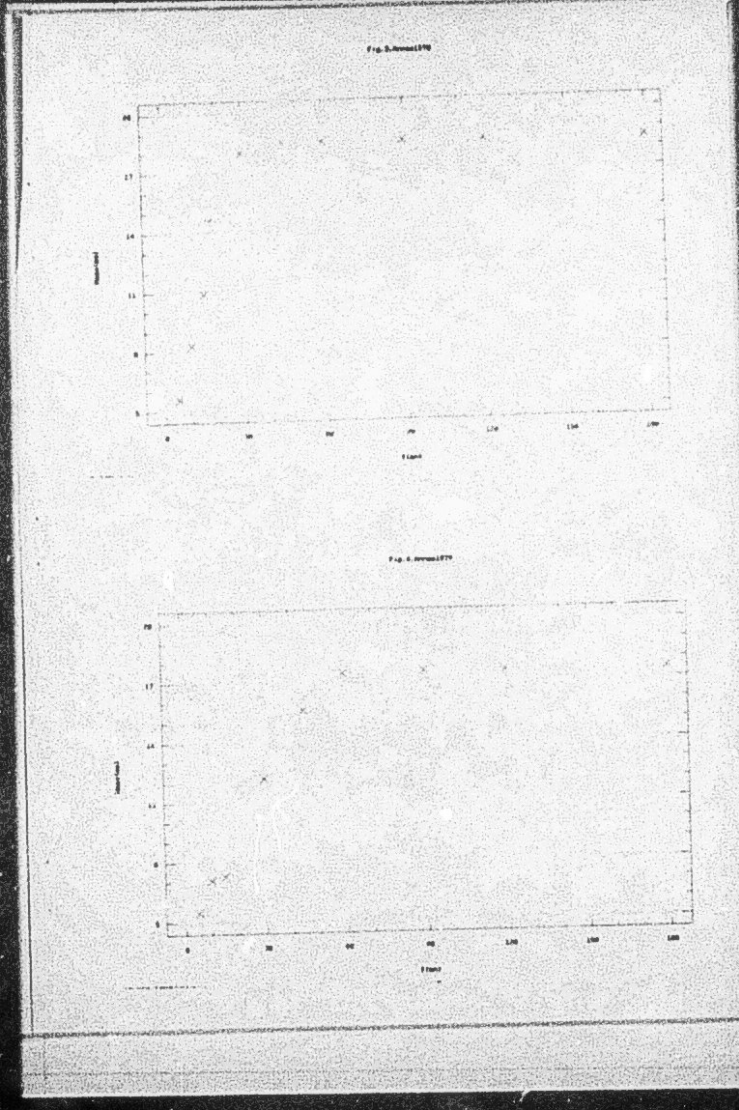
Diagrammes de la variation de la hauteur maximale (Hmax) en fonction de la durée (t) pour les années 1976 à 1991

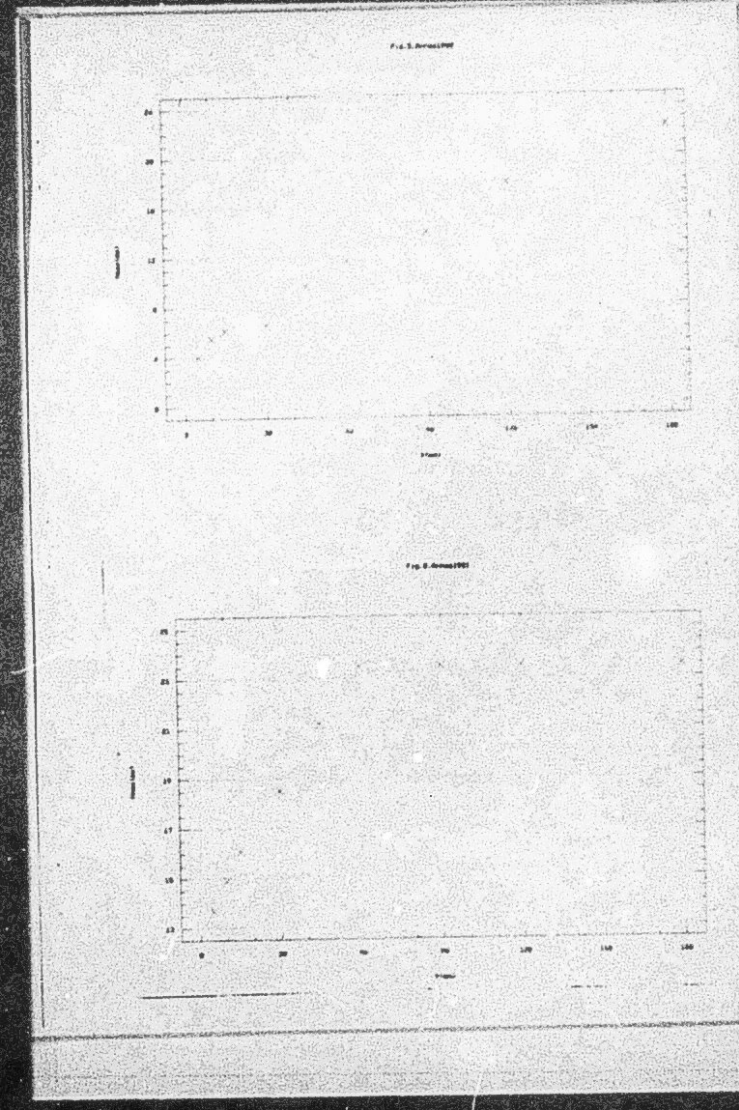


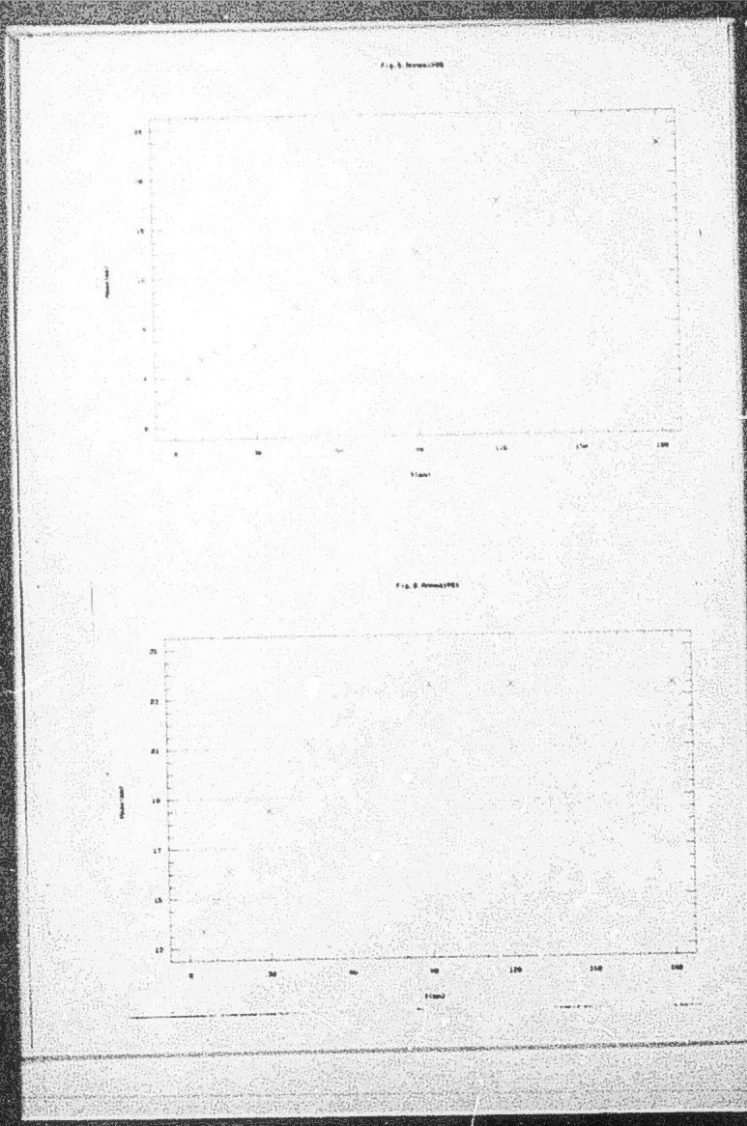


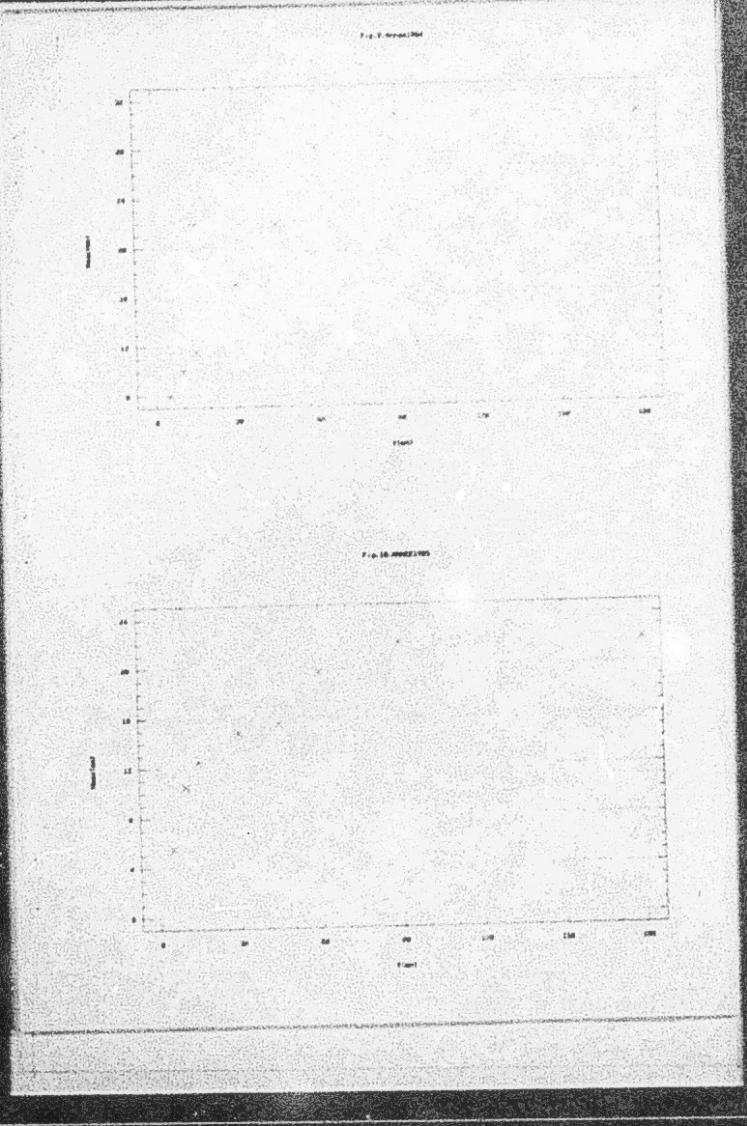
fig.2.freenif7

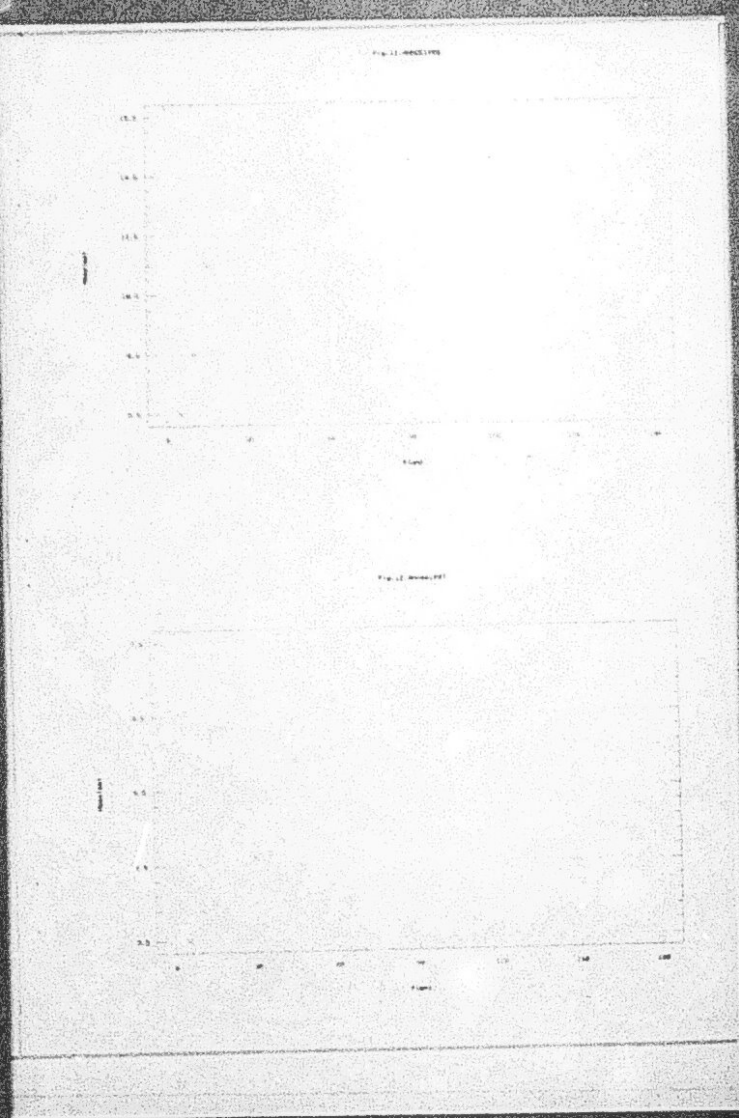


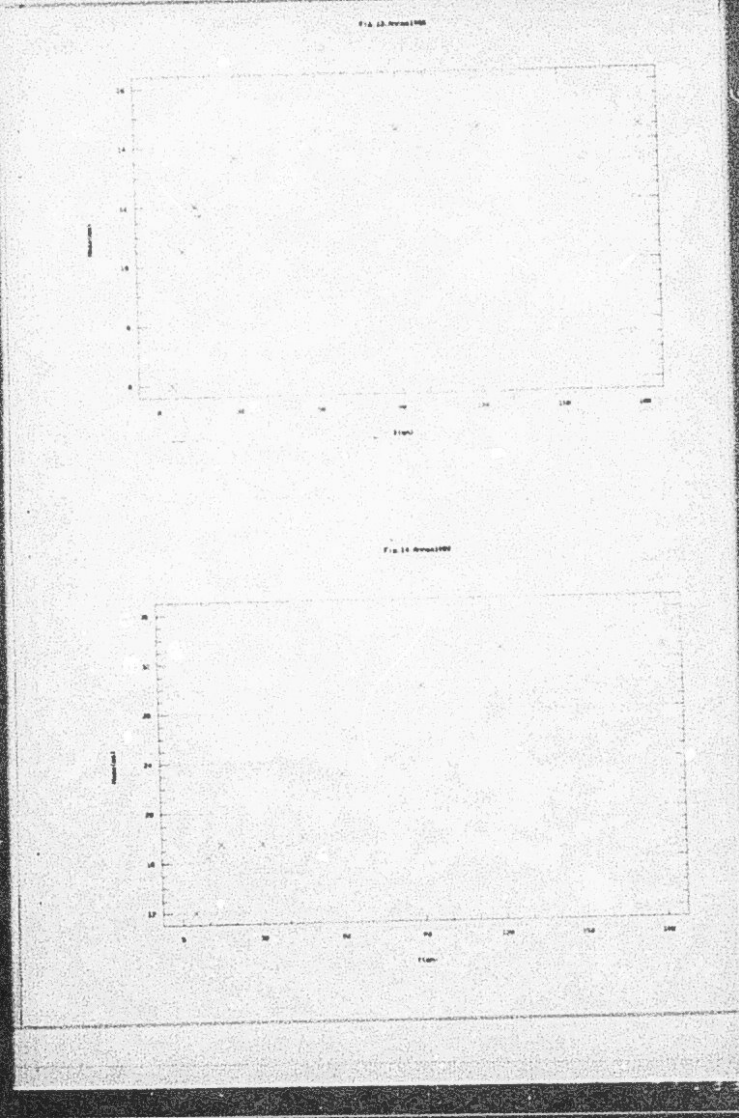


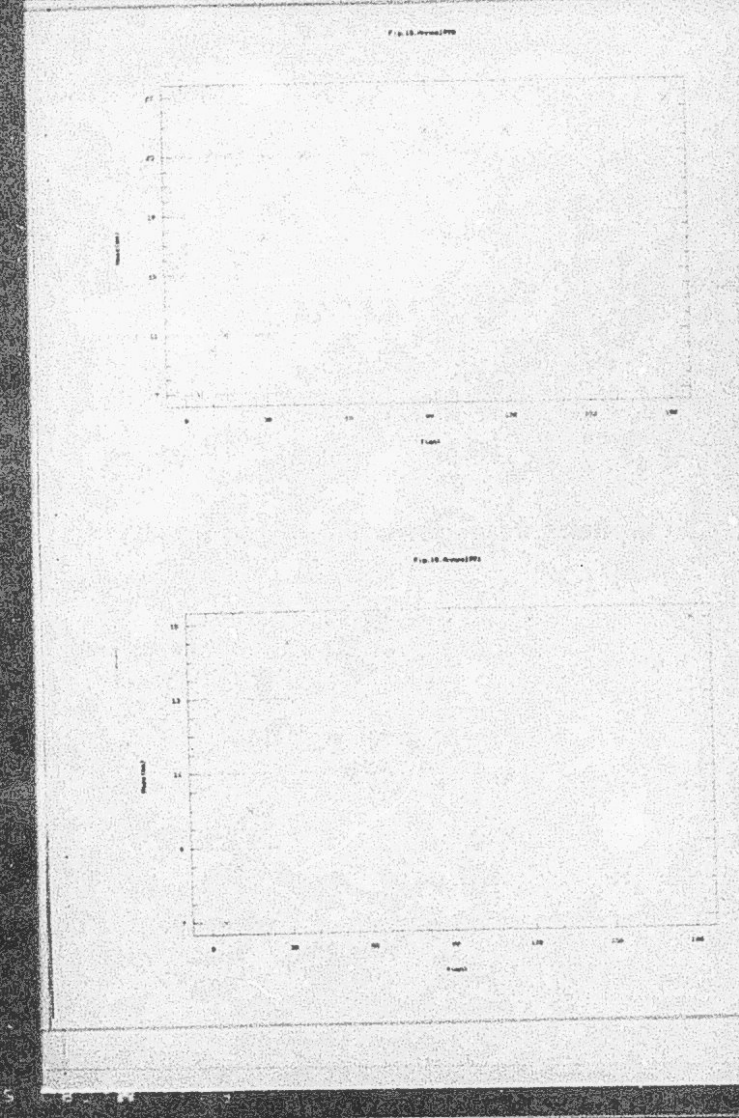










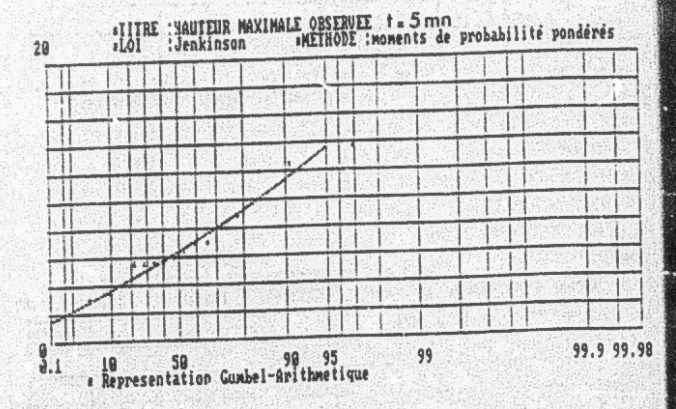


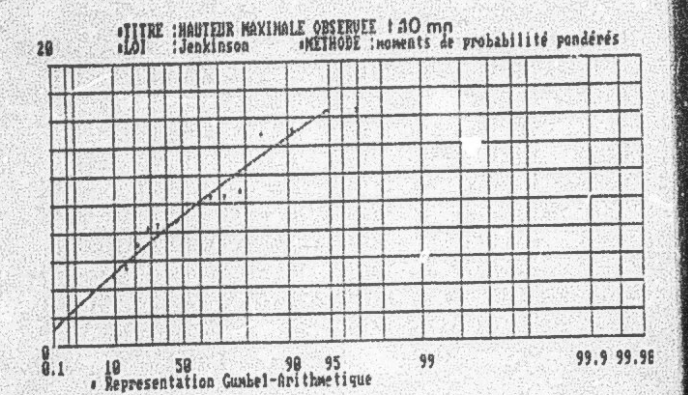
ANNEXES B

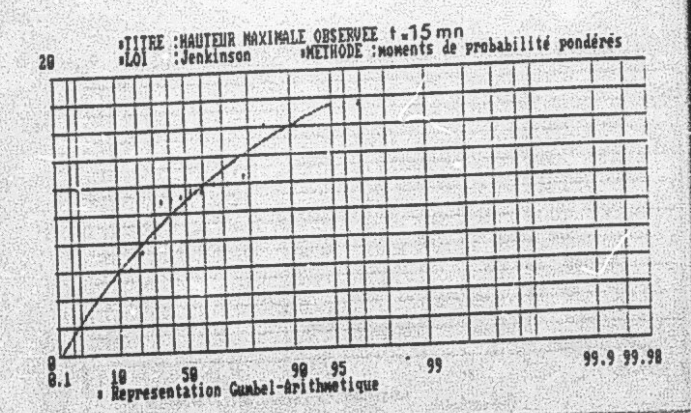
Graphiques des ajustements statistiques

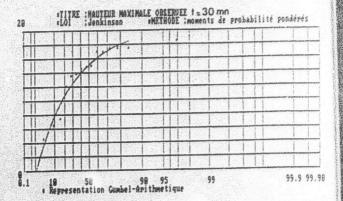
ANNEXES B

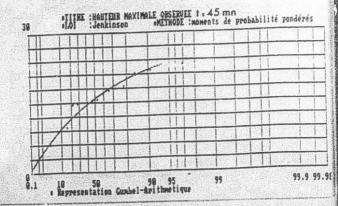
Graphiques des ajustements statistiques

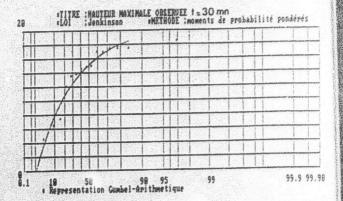


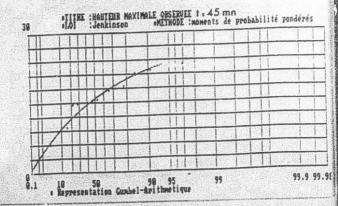


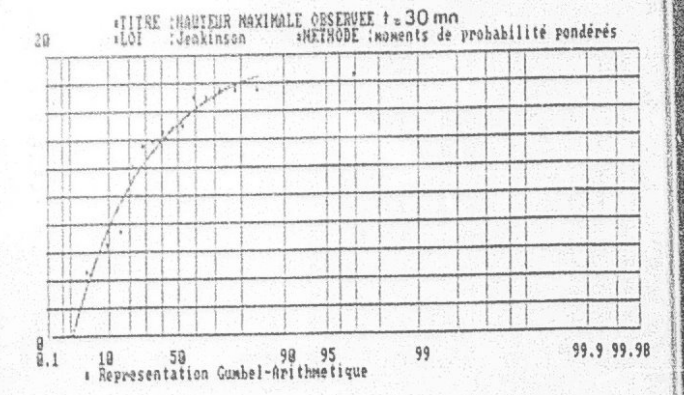


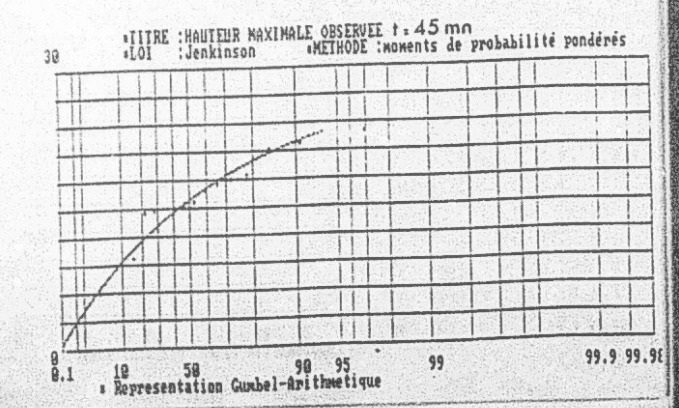


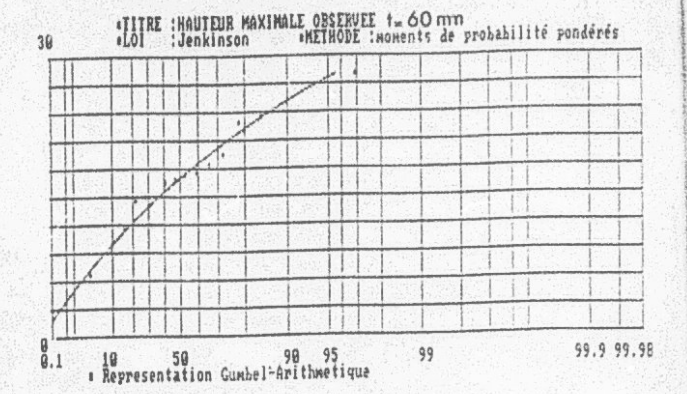


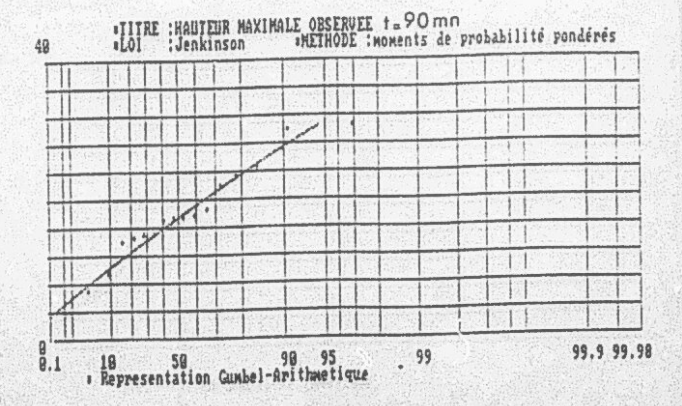


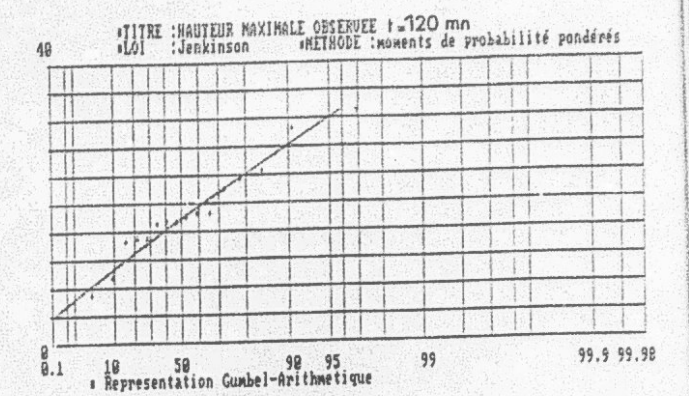


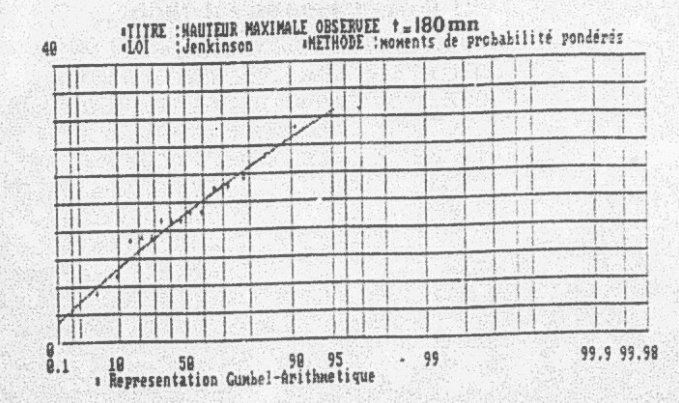












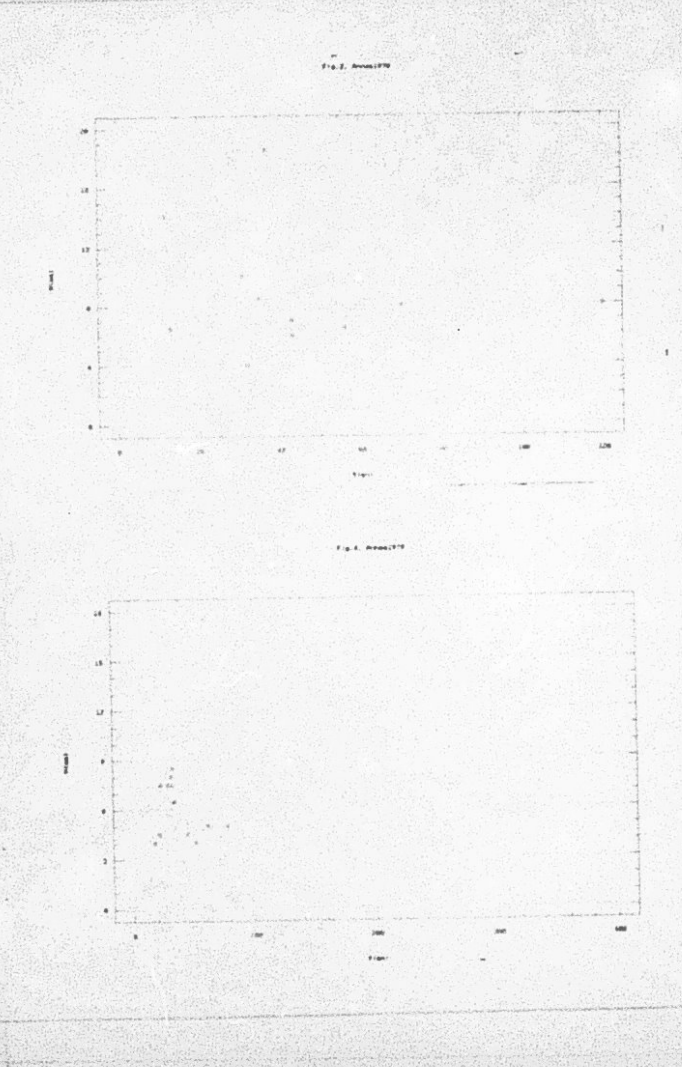
ANNEXES C

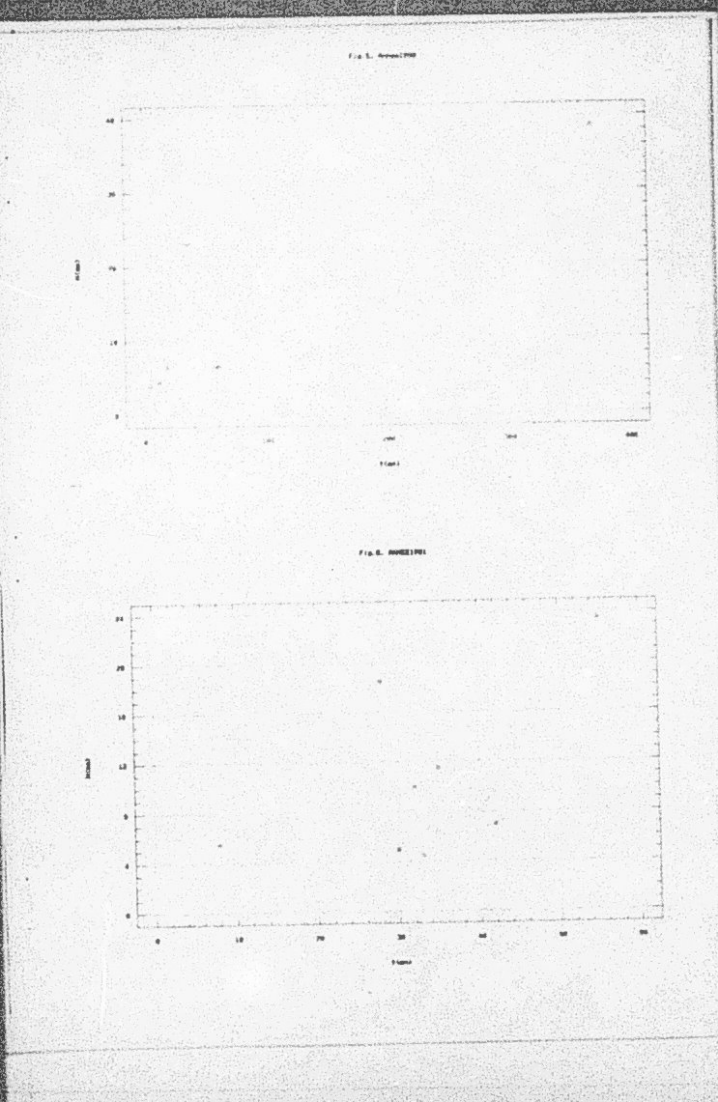
Diagrammes de la variation de la hauteur d'averse en fonction de sa durée pour les années 1976 à 1991

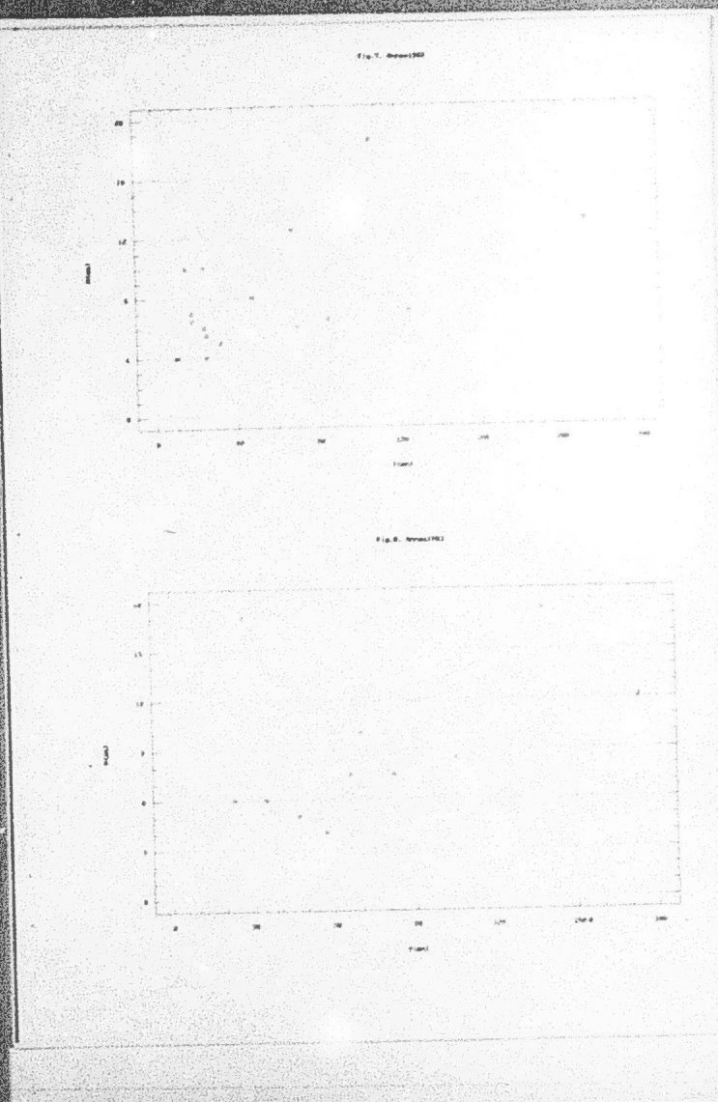


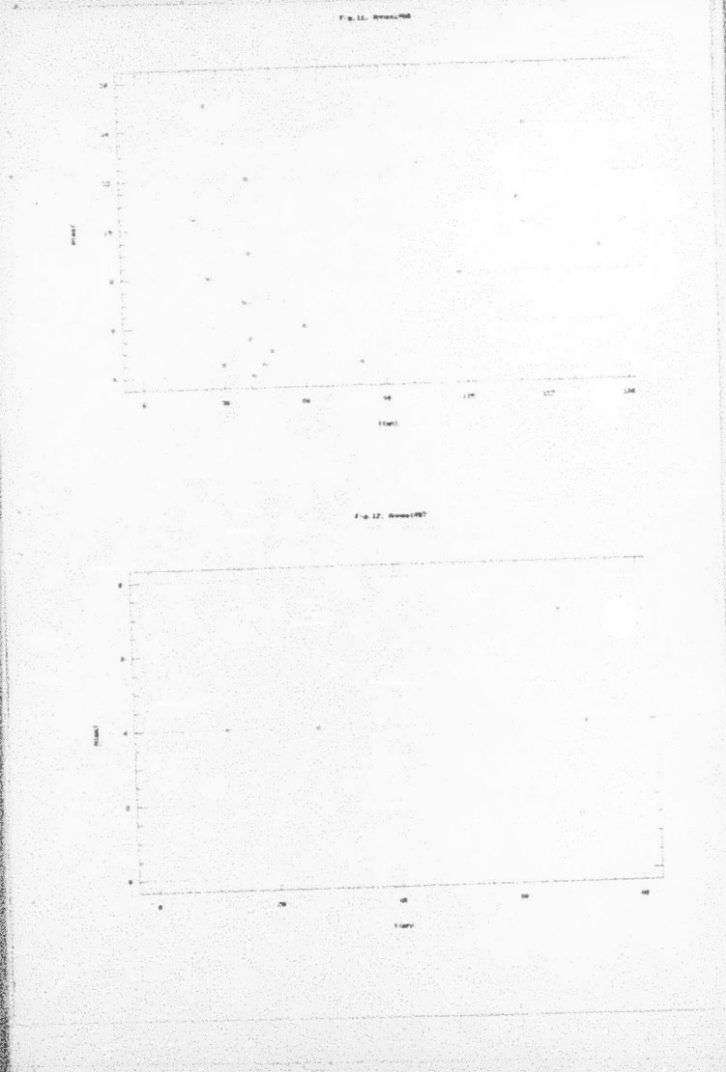
fig.2. fermaLPTT

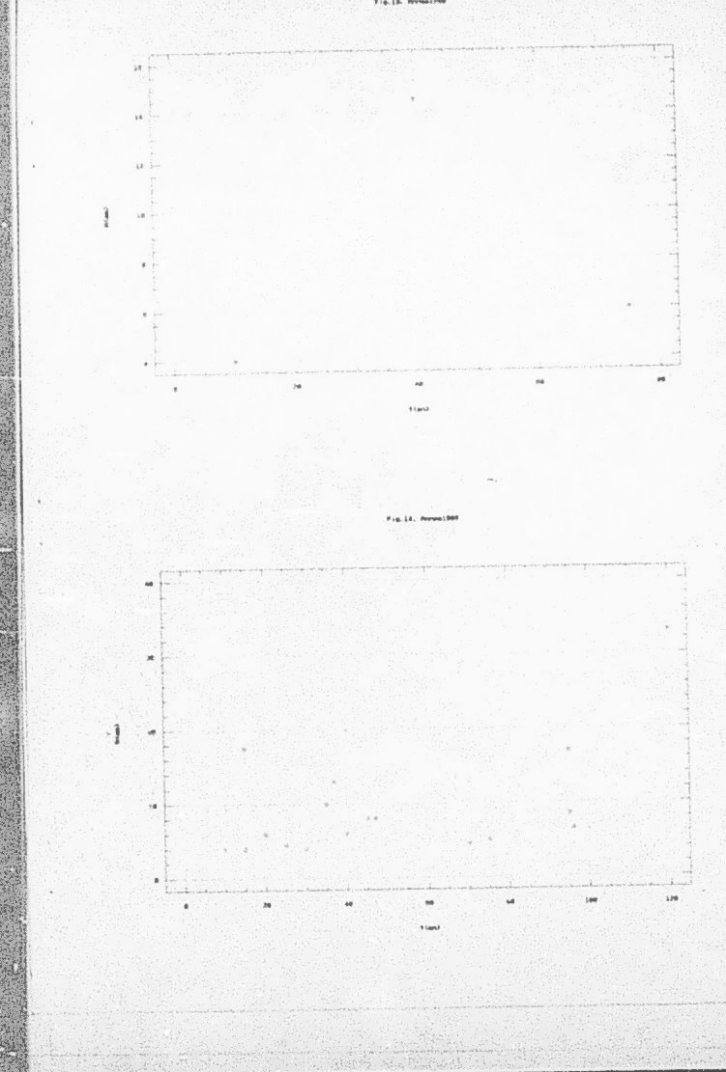














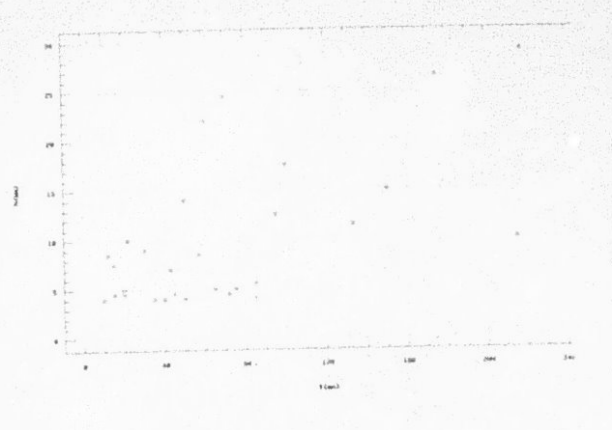
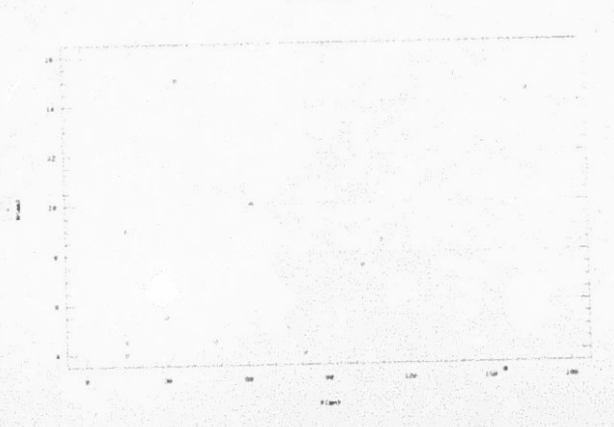


Fig. 18. Arrest Pf.



FIN

WUIS